

ADUTOS SÓLIDOS DE BASES ORGÂNICAS COM ÁCIDOS INORGÂNICOS

A. Derbli Pinto *
A. C. Massabni *

DERBLI PINTO, A. & MASSABNI, A.C. — Adutos sólidos de bases orgânicas com ácidos inorgânicos. Ecl. Quím., São Paulo, 5:17-28, 1980.

RESUMO: Neste trabalho foram preparados adutos sólidos de trifenilfosfônido (tfpo), tribenzilfosfinóxido (tbpo), trifenilarsinóxido (tfa₃O), trimetilaminóxido (tmao), piridina-N-óxido (py-O) e 1-fenil-3, 5-dimetilpirazol (fdmp) com os ácidos iodídrico nítrico e perclórico. Os resultados analíticos mostraram a formação de compostos de proporção molar 1:1 para os adutos de fdmp, tfa₃O, tmao e py-O; o tbpo formou somente adutos do tipo 2:1 (base: ácido). Com o tipo obtidos os dois tipos de adutos.

Os espectros no i.v. foram medidos e fez-se a atribuição das frequências correspondentes aos estiramentos N-H e O-H nos adutos 1:1 e formação de ponte de H⁺ simétrica do tipo O...H⁺...O nos adutos 2:1. Também são observados os deslocamentos das frequências de estiramento $\nu(P-O)$, $\nu(N-O)$ e $\nu(As-O)$ em relação às bases livres.

As atribuições de frequências dos grupos NO₃⁻ e ClO₄⁻ mostraram que estes ânions podem ser iônicos ou monodentados.

UNTERMOS: Adutos sólidos, bases orgânicas, ácidos inorgânicos, espectrofotometria infravermelha.

INTRODUÇÃO

Fosfinóxidos, arsinóxidos, aminóxidos e derivados pirazólicos são bases de Lewis utilizadas com frequência como ligantes em nossos laboratórios para a síntese de compostos de coordenação de vários sais metálicos (1-3). Como esses compostos são obtidos em solventes anidros como etanol, acetona, benzênc, etc, muitas vezes são utilizados ácidos como HCl, HBr, HI, HNO₃ e HClO₄ para preparar, solubilizar, ou ainda estabilizar o sal metálico naqueles solventes. Em alguns casos ocorre a cristalização do aduto resultante da associação

* Departamento de Química Geral e Inorgânica — Instituto de Química — UNESP — “Campus” de Araraquara.

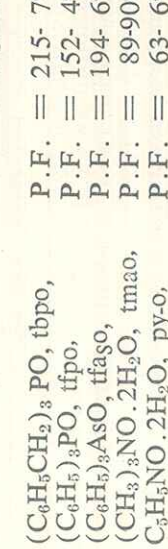
TABELA I Fórmulas dos adutos, intervalos de fusão e resultados analíticos.

Aduto	Intervalos de Fusão ou de Decomposição em °C	Análise % de ácido calc.	Análise % de ácido obs.
fdmp.HClO ₄	120-172(?)	36,86	35,4
fdmp.HNO ₃	100-104	26,80	27,0
fdmp.HI	124-137	42,64	42,1
2tfpo.HClO ₄	211-215	13,56	12,5
2tbpo.HNO ₃	(148)212-217	8,96	8,5
2tbpo.HI	(185)207-213	16,65	16,6
tfpo.HClO ₄	67-81	26,54	26,5
2tfpo.HClO ₄	101-106	15,30	14,9
tfpo.HNO ₃	31-55	18,47	18,1
2tfpo.HNO ₃	176-206	10,18	10,1
tmao.HClO ₄	71-174(?)	57,26	57,0
tmao.HNO ₃	50-68	45,65	44,9
tmao.HI	121-144	63,03	61,1
tfsgo.HNO ₃	109-114	16,36	16,6
py-o.HNO ₃	50-67	39,87	37,6

do ligante com o ácido preferencialmente ao complexo metálico (4). Em outros casos obtém-se o íon metálico ordenado somente ao ânion e o cátion é constituído de uma associação entre o ligante orgânico e o próton H⁺ (5).

O estudo da interação entre os ligantes utilizados e os ácidos citados não possibilita o estabelecimento de correlações estruturais entre aqueles ligan tes, como também auxilia no esclarecimento das estruturas dos complexos metálicos obtidos.

Além disso, o estudo encontra aplicações nos processos de extração de ácidos



1-fenil-3, 5-dimetilpirazol, fdmp (líquido), P.E. = 103-10/1-2mmHg.

Os ácidos utilizados eram reagentes p.a. da Carlos Erba (HI e HNO₃) e da Merck (HClO₄) e foram utilizados sem prévia purificação.

a) Obtenção dos adutos

De um modo geral os adutos sólidos foram preparados por dissolução da base orgânica em etanol ou acetona a queimada, com a adição do ácido em proporção molar 1:1. A solução era esfriada à temperatura ambiente, ou em geladeira, até a cristalização. Os sólidos eram filtrados, lavados com etanol ou acetona frios e depois com éter, e secos em dessecador a vácuo com P₄O₁₀.

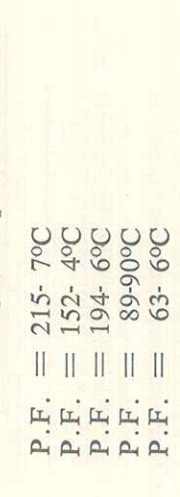
b) Pontos de fusão

Algumas vezes foi necessária a adição de solventes como éter de petróleo, tetracloreto de carbono ou benzeno para ocorrer a cristalização.

dos por bases orgânicas em solventes não aquosos (6-11).

Neste trabalho são preparados e estudados adutos sólidos de trifenilfosfinóxido (tfpo), tribenzilfosfinóxido (tbpo), trimetilaminóxido (tmao), piridina-N-óxido (py-o) e 1-fenil-3,5-dimetilpirazol (fdmp) com HI, HNO₃ e HClO₄.

As bases orgânicas utilizadas, todas disponíveis em nossos laboratórios, apresentaram os seguintes pontos de fusão:



Os adutos obtidos são todos brancos e cristalinos. No caso dos compostos com HI verificou-se que ocorre decomposição gradativa, com esclarecimento do sólido e possível formação de iodo (I₂).

Não foram obtidos compostos sólidos de dibenzilfenilfosfinóxido com os ácidos citados. Com tfpo e py-o obtivemos somente sólidos estáveis com HNO₃. Com tfpo foram obtidos compostos estáveis dos tipos 1:1 e 2:1 com HNO₃ e HClO₄; com HI forma-se somente um óleo escuro; Hadzi (12) obteve somente o aduto 1:1 de tfpo com HNO₃.

c) Análises

Foram feitas as análises dos adutos obtidos dissolvendo-se os compostos em HI perdendo o ácido a 148 e 185°C respectivamente e os sólidos residuais fundem a 213-177°C (P.F. do tbpo).

Em muitos casos ocorre a decomposição do aduto com liberação do ácido volátil (HI e HNO₃). Nestes casos o intervalo de fusão é muito grande e o ponto de fusão propriamente dito corresponde em geral ao da base orgânica utilizada (exceção do fdmp).

Os adutos de fdmp e de tmao com HClO₄ são os que apresentam maior intervalo de fusão e se decompõem a temperaturas mais elevadas em relação aos adutos correspondentes com HI e HNO₃.

Os pontos de fusão foram obtidos num aparelho Mettler FP2 e estão representados na Tabela I.

zada de NaOH 0,10N. Utilizouse fenofrâleína como indicador em todos os casos.

Os resultados analíticos estão representados na Tabela I.

Conforme se pode verificar, os adutos de fdmp, tfaço, tmao e py-o correspondem a compostos com a proporção molar 1:1. Já os adutos com tbpo são do tipo 2:1 (base: ácido).

d) Espectros no infravermelho

Os espectros dos adutos na região 4000-2000 cm⁻¹ foram registrados num espectrofotômetro Perkin Elmer 457, utilizando as técnicas de pastilhas em KBr e de suspensão em nujol ou fluorlube entre janelas de KBr. Os espectros dos adutos foram comparados com os das bases puras.

DISCUSSÃO E CONCLUSÕES

Os compostos sólidos obtidos são de dois tipos: (I) L. HA ($L = \text{fdmp}$, tmao, tbpo, tfaço e py-o, $A = \text{I}^-, \text{NO}_3^-$ ou ClO_4^-) e (II) 2L. HA ($L = \text{tbpo ou tbpo; } A = \text{I}^-, \text{NO}_3^-$ ou ClO_4^-).

Quando duas moléculas da base (L) estão associadas a uma molécula do ácido HA deve ocorrer a transferência efetiva do próton H⁺ com a formação de um cátion do tipo [L...H⁺...L] e do ânion A⁻. O composto neste caso se comporta como um sal.

Quando o composto é do tipo 1:1, ou seja L. HA, ocorre a formação de um aduto típico podendo a ligação HA ter caráter iônico ou covalente.

É interessante observar que com tbpo ocorrem somente adutos do tipo 2L. HA e com tipo podem ocorrer os dois tipos de adutos.

Parris e Long (13), na tentativa de preparar complexos sólidos de tribenzilar-sinônido (tbaço) com cloreto, nitrato e perclorato hidratados de Cr (III), Fe (II), Fe (III) e Ni (II) obtiveram sólamente compostos de associação dos dois tipos acima citados, ou seja, tbaço.HA e 2tbao.HA ($A = \text{I}^-, \text{NO}_3^-$ ou ClO_4^-). Com tipo, Hadži (12) obteve os dois tipos de adutos, tanto com HCl como com HBr, mas com HNO_3 só se formou o tipo HNO₃.

Hadži (12) estudou, principalmente por espectroscopia no infravermelho, adutos sólidos de várias bases, incluindo-se o tipo, o tfaço e o py-o, com HCl, HBr, HNO_3 e ácido tricloracético (TCA). O tipo formou adutos do tipo (I) com HNO₃ e TCA e dos tipos (I) e (II) com HCl e HBr. Com tfaço ele obteve sólamente o aduto com TCA e com o py-o foram obtidos somente adutos do tipo (I) com HCl HBr e TCA. Hadži não obteve os adutos de tfaço e py-o com HNO_3 .

A formação de ponte de H⁺ simétrica do tipo O...H⁺...O é proposta pelo autor para os adutos do tipo (II).

A análise do espectro do fdmp. HClO_4 em relação ao fdmp livre, permite concluir que é mais provável a presença do grupo perclorato monodentado, de modo que o aduto parece ser não iônico no estado sólido.

Especros no infravermelho

- a) Adutos de fdmp com HClO_4 , HNO_3 e HI
- b) fdmp. HClO_4

No espectro deste aduto em pastilha de KBr aparece uma banda larga na região 2.200-3.200 cm⁻¹, com várias componentes correspondentes ao estiramento N...H(15) e resultante da ligação formada entre o N-pirazólico e o hidrogênio do HClO_4 . O centro da banda está em 2.800 cm⁻¹.

As principais bandas do fdmp aparecem também no espectro i.v. do aduto.

No grupo perclorato, quando iônico (ClO_4^-), ocorrem somente duas bandas ativas no i.v., uma em 1.110 cm⁻¹ e outra em 626 cm⁻¹, e quando monodentado (simetria C_{3v}) as bandas ativas no I.v. aparecem em 1.160, 1.030, 930, 638, 620 e 482 cm⁻¹(16).

No espectro do fdmp. HClO_4 encontramos uma banda forte e larga em 1.110 cm⁻¹ aproximadamente e outra em 1.055 cm⁻¹. Em 1.030 cm⁻¹ o ligante livre também absorve. Outras bandas ocorrem no fdmp. HClO_4 em 930 cm⁻¹ e 630 cm⁻¹ (com ombros); a banda em 640 cm⁻¹ aparece também no ligante livre, mas é intensificada no aduto. Em 462 cm⁻¹ ocorre uma banda fraca atribuída ao ligante, não sendo observada no aduto nenhuma banda em 482 cm⁻¹. Outra banda de intensidade média, em 820 cm⁻¹, ocorre sómente no aduto.

As três frequências de NO_3^- iônico aparecem no espectro do aduto (1.380, 830, 715 cm⁻¹). Por outro lado, algumas frequências típicas do NO_3^- monodentado também ocorrem no espectro do aduto (1.285 e 1.025 cm⁻¹). No entanto, a banda forte em 1.285 cm⁻¹ não ocorre no fdmp livre, mas ocorre no aduto com HNO_3 . Também em 1.030 cm⁻¹ ocorre uma banda média no fdmp livre.

Espectros no infravermelho

São observadas no espectro do aduto as principais bandas do fdmp, além de uma banda larga centrada em 2.500 cm⁻¹

O espectro deste aduto é muito semelhante ao do fdmp livre na região

No espectro deste aduto em pastilha de KBr aparece uma banda larga na região 2.200-3.200 cm⁻¹, com várias componentes correspondentes ao estiramento N...H(15) e resultante N...H neste aduto ocorre em energia mais baixa do que do aduto com HClO_4 , o que indica que a ligação N...HNO₃ é mais fraca do que a ligação N...HClO₄.

As frequências ativas no infravermelho do grupo NO_3^- da literatura (16) são as seguintes:

$$\begin{aligned}\text{NO}_3^- (\text{iônico}): & 1390, 830 \text{ e } 720 \text{ cm}^{-1} \\ \text{—ONO}_2 (\text{mono-}) & \left\{ \begin{array}{l} 1480-1530, 1250-1290, 970-1030, \\ \text{dentado} \end{array} \right\} \\ & 780-800, \sim 740, \sim 715 \text{ cm}^{-1}\end{aligned}$$

Bandas do NO_3^- observadas no aduto: 1380, 1285, 1025, 830, 715 cm⁻¹

Deve-se observar também que ocorre forte absorção do fdmp livre em 1.500 cm⁻¹ e em 780 cm⁻¹, frequências correspondentes também ao NO_3^- monodentado.

As três frequências de NO_3^- iônico aparecem no espectro do aduto (1.380, 830, 715 cm⁻¹). Por outro lado, algumas frequências típicas do NO_3^- monodentado também ocorrem no espectro do aduto (1.285 e 1.025 cm⁻¹). No entanto, a banda forte em 1.285 cm⁻¹ não ocorre no fdmp livre, mas ocorre no aduto com HNO_3 . Também em 1.030 cm⁻¹ ocorre uma banda média no fdmp livre.

fdmp. HI

São observadas no espectro do aduto as principais bandas do fdmp, além de uma banda larga centrada em 2.500 cm⁻¹

No espectro deste aduto em pastilha de KBr aparece uma banda larga na região 2.200-3.200 cm⁻¹, com várias componentes correspondentes ao estiramento N...H(15) e resultante da ligação formada entre o N-pirazólico e o hidrogênio do HClO_4 . O centro da banda está em 2.800 cm⁻¹.

As principais bandas do fdmp aparecem também no espectro i.v. do aduto.

No grupo perclorato, quando iônico (ClO_4^-), ocorrem somente duas bandas ativas no i.v., uma em 1.110 cm⁻¹ e outra em 626 cm⁻¹, e quando monodentado (simetria C_{3v}) as bandas ativas no I.v. aparecem em 1.160, 1.030, 930, 638, 620 e 482 cm⁻¹(16).

No espectro do fdmp. HClO_4 encontramos uma banda forte e larga em 1.110 cm⁻¹ aproximadamente e outra em 1.055 cm⁻¹. Em 1.030 cm⁻¹ o ligante livre também absorve. Outras bandas ocorrem no fdmp. HClO_4 em 930 cm⁻¹ e 630 cm⁻¹ (com ombros); a banda em 640 cm⁻¹ aparece também no ligante livre, mas é intensificada no aduto. Em 462 cm⁻¹ ocorre uma banda fraca atribuída ao ligante, não sendo observada no aduto nenhuma banda em 482 cm⁻¹. Outra banda de intensidade média, em 820 cm⁻¹, ocorre sómente no aduto.

As três frequências de NO_3^- iônico aparecem no espectro do aduto (1.380, 830, 715 cm⁻¹). Por outro lado, algumas frequências típicas do NO_3^- monodentado também ocorrem no espectro do aduto (1.285 e 1.025 cm⁻¹). No entanto, a banda forte em 1.285 cm⁻¹ não ocorre no fdmp livre, mas ocorre no aduto com HNO_3 . Também em 1.030 cm⁻¹ ocorre uma banda média no fdmp livre.

fdmp. HNO_3

São observadas no espectro do aduto as principais bandas do fdmp, além de uma banda larga centrada em 2.500 cm⁻¹

1.650-500cm⁻¹. Algumas bandas do fdmp sofreram pequenos deslocamentos (5-10cm⁻¹). A banda larga de N...H ocorre a ~2.500-3.000cm⁻¹ com centro em 2.750cm⁻¹.

TABELA II Frequências no infravermelho das ligações (N-H), (O-H), (P-O), (N-O) e (As-O) e dos ânions ClO_4^- e NO_3^-

Adutos	$\nu(\text{N-H})$ ou $\nu(\text{O-H})\text{cm}^{-1}$	$\nu(\text{P-O})$ $\nu(\text{As-O})$ ou $\nu(\text{N-O})\text{cm}^{-1}$	Frequências de NO_3^- cm ⁻¹	$\nu(\text{ClO}_4^-)$ e
fdmp. HClO_4	3200-2200	—	1110, 1055, 930, 640,	630
fdmp. HNO_3	3000-2200	—	1380, 1285, 1025, 830,	715
fdmp.HI	3000-2500	—	—	—
2tupo.HCl	—	920-940	1090, 625	625
2tupo. HNO_3	—	920-940	1430, 1385, 1330, 1240	1005, 815, 725
2tupo.HI	—	920-940	—	—
tupo. HClO_4	(?)	900(?)	1100, 630	630
2tupo. HClO_4	—	900(?)	1100, 630	630
tupo. HNO_3	(?)	1060	1640, 1420, 1260, 955,	788
2tupo. HNO_3	—	1090, 900	1390, 830, 720	652
tmao. HClO_4	(?)	960	1100, 930, 640, 630,	490
tmao. HNO_3	3200-2300	950	1480, 1380, 1040,	830
tmao.HI	3300-2700	945, 930	—	—
trago. HNO_3	3000-2100	745	1385, 810 (820, 830),	715
py/o. HNO_3	2700-2200	1225	1380, 1285, 1025,	950, 830
			810, 715	—

e de intensidade média-força e foi por nós atribuída ao estiramento $\nu(\text{P-O})$ devido à associação do oxigênio com o próton H⁺. A frequência $\nu(\text{P-O})$ no tbpo livre ocorre em 1.185-90cm⁻¹ (1) e desaparece no aduto.

As bandas dos três adutos na região 2.500-3.500cm⁻¹ estão representadas, para efeito de comparação, na fig. 1.

Duas bandas adicionais a 1.115 e a 1.285cm⁻¹, que não foram identificadas, ocorrem também no espectro deste aduto; o fdmp livre apresenta uma banda em 1.130cm⁻¹ que não ocorre no aduto.

b) Adutos de tbpo com HClO_4 , HNO_3 e HI

2tupo. HClO_4

A banda correspondente ao estiramento O...H que deve ocorrer acima de 1.700cm⁻¹ não foi observada no espectro deste aduto; trata-se de um composto do tipo (II) com ligação simétrica [tbpo...H⁺...tbpo]. Hadži (12) e Harris e col. (14) também não observaram a banda de O-H nos espectros dos compostos do tipo (II) por eles estudados.

No espectro do 2tupo. HClO_4 ocorre uma banda relativamente larga na região 1.300-1.600cm⁻¹ que pode estar relacionada com a formação da ponte de H⁺ simétrica. Banda semelhante foi também observada nos adutos do tipo (II) de tbpo com HNO_3 e HI.

As frequências correspondentes ao ClO_4^- iônico foram observadas em 1.090 e 625cm⁻¹. Uma banda adicional, além das bandas principais do tbpo livre, foi encontrada no espectro do aduto em 920-940cm⁻¹. A banda é relativamente larga

e de intensidade média-força e foi por nós atribuída ao estiramento $\nu(\text{P-O})$ devido à associação do oxigênio com o próton H⁺. A frequência $\nu(\text{P-O})$ no tbpo livre ocorre em 1.185-90cm⁻¹ (1) e desaparece no aduto.

O espectro deste aduto é bastante complicado em vista do elevado número de bandas. Neste caso, novamente, observou-se uma banda larga, com várias componentes, na região 1.300-1.700cm⁻¹, correspondente à formação do aduto. Nesta região aparecem bandas do grupo NO_3^- e do tbpo.

As frequências do grupo NO_3^- ocorrem em 1.430 (larga), 1.385, 1.330, 1.240cm⁻¹ (o tbpo livre também absorve em 1.240cm⁻¹), 1.005, 815(825) e 725cm⁻¹. Tais freqüências sugerem a existência de NO_3^- iônico, como era de se esperar uma vez que o composto é do tipo (II). Por outro lado, pela análise do espetro não se pode desprezar a possibilidade de existência de NO_3^- monedentado (16).

Além dessas bandas ocorre outra a 920-940cm⁻¹ atribuída a $\nu(\text{P-O})$ associada ao H⁺, além de uma larga em 520cm⁻¹. A banda correspondente a $\nu(\text{P-O})$ em 1.185-90cm⁻¹ do tbpo livre desaparece no aduto.

2tupo.HI

Novamente observou-se a ocorrência da banda larga em 1.300-1.600cm⁻¹, com várias componentes correspondentes do tbpo.

Neste caso também foi atribuída $\nu(\text{P-O})$ à banda larga e forte que ocorre em 920-40cm⁻¹. A banda correspondente

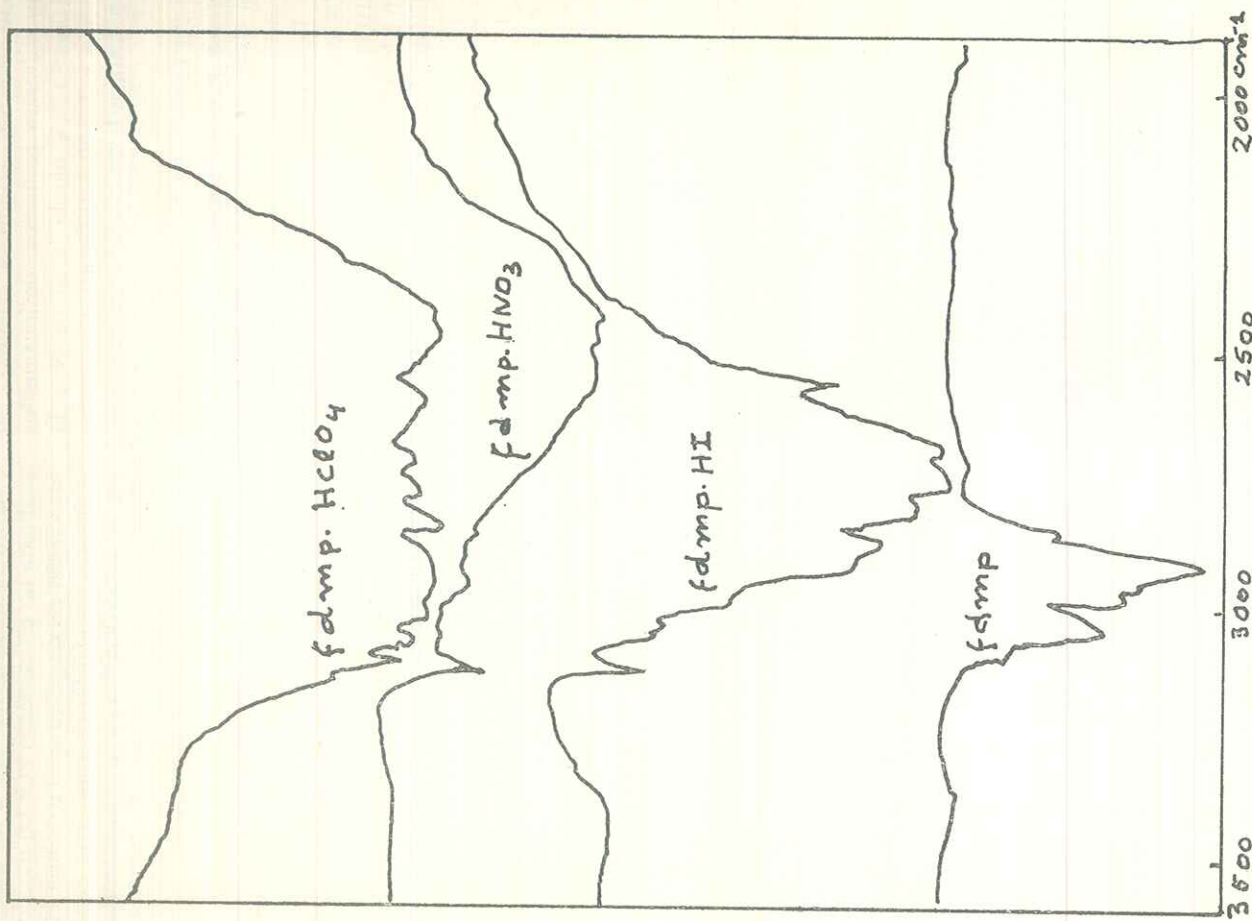


Figura 1 — Espectros no Infravermelho na região 2500-3500 cm⁻¹ (pastilha KBr). Aduitos fdmp.HClO₄, fdmp.HNO₃, fdmp.HI e fdmp.

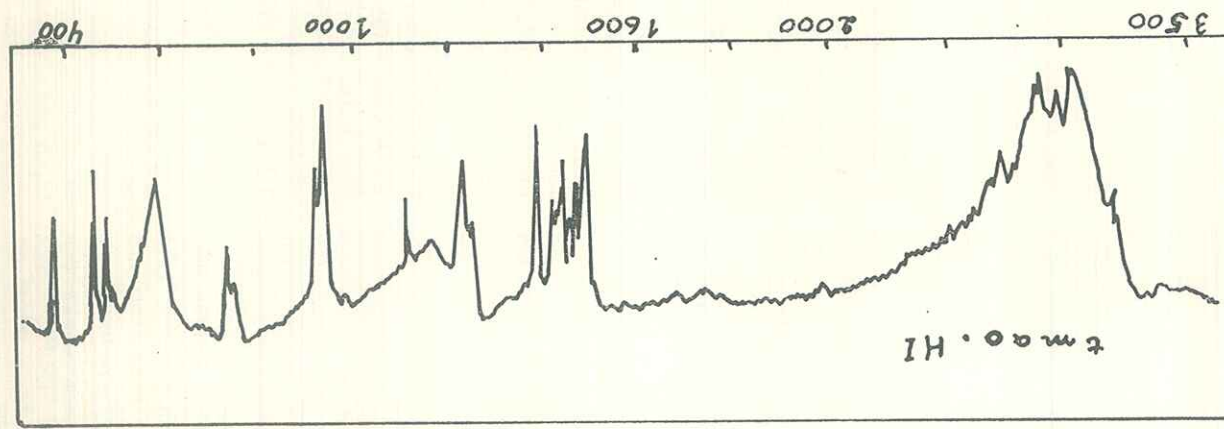


Figura 2 — Espectro no Infravermelho do Aduito tmao.HI (pastilha de KBr).

ao $\nu(P-O)$ do tbpo livre também desaparece no aduto como nos casos anteriores. As demais bandas que ocorrem são todas do tbpo.

c) *Adutos de tipo com HNO_3 e $HClO_4$*
tbpo. HNO_3 e 2tbpo. HNO_3

Hadži (12) preparou o aduto 1:1 e observou bandas nas seguintes freqüências: 1.640 (estiramento assimétrico NO_2), 1.420 (N-OH "bending"), 1.260 (estiramento simétrico NO_2), 955 (estiramento N-OH), 788 (deformação fora do plano ONO_2), 652 e 1.060 cm^{-1} (estiramento $P=O$).

No aduto, por nós preparado, foram observadas as bandas encontradas por Hadži com algumas pequenas alterações. As bandas de nitrito correspondem ao NO_3^- monodenitado. Não foram observadas as bandas em 1.850 e 2.250 cm^{-1} , citadas por Hadži (12) para o estiramento $O\cdots H$.

No aduto 2:1 observamos freqüências em 1.090 cm^{-1} do estiramento $\nu(P-O)$, e em 900 cm^{-1} (larga). Esta última banda deve estar relacionada com a formação da ponte $O\cdots H^+\cdots O$ como no aduto 2tbpo. HNO_3 .

A única freqüência nitidamente observada para o grupo NO_3^- é a 830 cm^{-1} . Nas demais regiões de absorção do NO_3^- iônico (1.390 e 720 cm^{-1}) o ligante livre apresenta várias bandas. As freqüências de NO_3^- monodenitado não foram observadas.

tbpo. $HClO_4$ e 2tbpo. $HClO_4$

Os espectros desses dois adutos são muito parecidos. Em ambos ocorrem ban-

das em 1.100 e 630 cm^{-1} correspondentes ao grupo ClO_4^- iônico. No entanto, nos dois casos esta última banda aparece dobrada. A banda correspondente ao estiramento $\nu(P-O)$ não foi observada, porque deve estar encoberta pela banda do ClO_4^- em 1.100 cm^{-1} . Nos espectros dos dois adutos ocorre uma banda bastante larga em 900 cm^{-1} , que deve estar relacionada com a formação da ponte de hidrogênio.

d) *Adutos de tmao com $HClO_4$, HNO_3 e HII*
tmao. $HClO_4$

No espectro deste aduto a freqüência de estiramento $\nu(N-O)$ corresponde à banda em 960 cm^{-1} (18).

As bandas em 1.100, 930 (ombro), 640, 630 e 490 cm^{-1} correspondem provavelmente às freqüências do ClO_4^- monodenitado.

No espectro ocorre uma banda larga em 3.400 cm^{-1} que poderia ser interpretada como de estiramento da ligação O-H. No entanto, a banda pode ser de água residual proveniente do tmao.

No aduto 2:1 observamos freqüências em 1.090 cm^{-1} do estiramento $\nu(P-O)$, e em 900 cm^{-1} (larga). Esta última banda deve estar relacionada com a formação da ponte $O\cdots H^+\cdots O$ como no aduto 2tbpo. HNO_3 .

Na região 3.200-2.300 cm^{-1} aparece uma banda larga, composta de várias bandas menores, com centro em 2.750 cm^{-1} , que corresponde ao estiramento $O\cdots H$. Aqui também ocorre a banda larga em 3.400 cm^{-1} . O estiramento $\nu(N-O)$ localiza-se em 950 cm^{-1} (18).

tbpo. $HClO_4$ e 2tbpo. $HClO_4$

As bandas de NO_3^- do tmao. HNO_3 se confundem com algumas do tmao livre (ambos possuem ligação N-O). No en-

tanto, é possível observar no aduto as bandas de NO_3^- monodenitado (16) em 1.480, 1.040 e 830 cm^{-1} , além da banda forte em 1.380 cm^{-1} , característica de NO_3^- iônico.

e) *Adutos de tipo com HNO_3 e HNO_3*
tmao. HII

Neste aduto, na região de 3.300-2.700 cm^{-1} , aparece uma banda larga, composta de várias pequenas bandas, com centro em 2.950 cm^{-1} , que pode ser atribuída ao estiramento $O\cdots H$. Aqui não ocorre a banda larga em 3.400 cm^{-1} .

As bandas em 945 e 930 cm^{-1} correspondem ao estiramento $\nu(N-O)$ (18). O espectro deste aduto está na fig. II.

e) *Adutos de tfaço e py-o com HNO_3*
tfaço. HNO_3

A análise do espectro i.v. deste aduto demonstrou que o NO_3^- é iônico. As bandas em 1.385, 810 (820, 830) e 715 cm^{-1} são características do íon NO_3^- (16).

Na região 2.100-3.000 cm^{-1} ocorre uma banda larga, composta de várias outras bandas, associada à formação do aduto e poderia ser atribuída ao estiramento da ligação O-H formada. Além desta banda, outra que deve estar relacionada à formação do aduto é a banda, também larga, que aparece em 1.670 cm^{-1} .

A frequência de estiramento $\nu(As-O)$ que ocorre no tfaço livre em 885 cm^{-1} parece que foi deslocada no aduto para 745 cm^{-1} . Esta atribuição é difícil de ser efetuada por que o tfaço livre também apresenta uma banda forte nessa freqüência.

Na Tabela II estão representadas as principais freqüências observadas nos espectros dos adutos.

py-o. HNO_3

Observe-se no espectro do aduto as principais bandas de py-o, e uma banda larga na região 2.700-2.200 cm^{-1} , com centro em 2.450 cm^{-1} correspondente à ligação O-H. Hadži (12) atribui o estiramento (O-H) em 1.700 cm^{-1} para o aduto py-o. TCA.

Uma das dificuldades de se atribuir o estiramento $\nu(N-O)$ do grupo NO_3^- do py-o. HNO_3 é o fato de ocorrer a mesma ligação tanto na base como no aduto.

São observadas todas as bandas descritas na literatura do grupo NO_3^- (16), mas as bandas em 950 cm^{-1} e 810 cm^{-1} de NO_3^- monodenitado aparecem somente no aduto.

A banda observada por Hadži (12) em 1.230 cm^{-1} no aduto py-o. TCA, aparece em 1.225 cm^{-1} no aduto py-o. HNO_3 ; essa mesma banda ocorre no py-o hidratado.

Os espectros dos adutos de py-o hidratado são difíceis de interpretar, devido à absorção de água que ocorre nas bases livres.

Também a diferenciação, em todos os adutos, de NO_3^- monodenitado e iônico torna-se duvidosa, quando se utiliza soamente a espectroscopia no infravermelho. Além disso, os espectros dos adutos 1:1 e 1:2 envolvendo os mesmos componentes, são muito semelhantes e com um número muito grande de bandas, o que torna difícil a diferenciação.

Na Tabela II estão representadas as principais freqüências observadas nos espectros dos adutos.

DERBLI PINTO, A. & MASSABNI, A.C. — Solid adducts of organic bases with inorganic acids. *Ecl. Quím.*, São Paulo, 5:17-28, 1980.

ABSTRACT: In this work, solid adducts of triphenylphosphine oxide (tppo), tribenzylphosphine oxide (tbpo), triphenylarsine oxide (tfao), trimethylamine oxide (tmao), pyridine-N-oxide (py-o) and 1-phenyl-3,5-dimethylpyrazole (pdmp) with iodidric, nitrilic and perchloric acids were prepared.

Analytical results showed the formation of molar proportion 1:1 compounds for the adducts of pdmp, tfao, tmao and py-o; tbpo formed adducts of 2:1 (base: acid) type only. The two types of adducts were obtained with tppo.

Assignments were made in the infrared spectra due to the N...H and O...H stretching frequencies, in the 1:1 adducts, and due to the symmetric hydrogen bond formation of the type O...H⁺ ...O in the 2:1 adducts. Stretching frequencies shifts of $\nu(P-O)$, $\nu(N-O)$ and $\nu(As-O)$ in relation to the pure bases were also observed.

Assignments of the ClO₄⁻ and NO₃⁻ groups showed that these anions can be ionic or monodentate.

UNITERMS: Solid adducts, organic bases, inorganic acids, infrared spectro-photometry.

REFERÊNCIAS BIBLIOGRÁFICAS

1. MASSABNI, A.C. & SERRA, O.A. *J. Coord. Chem.*, 1977, 7, 67.
2. DAVOLOS, M.R., Instituto de Química da Universidade de São Paulo, São Paulo, 1977. [Tese-Mestrado].
3. FRANCISCO, R.H.A., LECHAT, J.R., MASSABNI, A.C., MELIOS, C., B. & MOLINA, M., *J. Coord. Chem.* (em publicação).
4. MASSABNI, A.C.. In: ENCONTRO REGIONAL DE QUÍMICA, 1., São Carlos, 1979.
5. SANTOS, R.H.A., FRANCISCO, R.H.P., LECHAT, J.R. & MASSABNI, A.C. In: REUNIÃO ANUAL DA SOCIEDADE BRASILEIRA DE CRYSTALOGRAFIA, 8., Recife, 1979 — Resumos.
6. SENEGACNIK, M., KLOFUTAR, C., PALJK, S. & SMREKAR, L. *J. Inorg. Nucl. Chem.*, 1970, 32, 1659.
7. BUCHER, J.J., ZIRIN, M., LAUGEN, R.C. & DIAMOND, R.M., *J. Inorg. Nucl. Chem.*, 1971, 33, 3869.
8. BUCHER, J.J. & DIAMOND, R.M., *J. Inorg. Nucl. Chem.*, 1972, 34, 3531.
9. MARIN, B., *Bull. Soc. Chim. France*, 1974, 34, 389.
10. BUCHER, J.J., CONOCCHIOLI, T.J., HELD, E.R., LABINGER, J.A., SUDBURY, B.A. & DIAMOND, R.M., *J. Inorg. Nucl. Chem.*, 1975, 37, 221.
11. M. SCHRODER-NIELSEN, *Acta Pharm. Suec.*, 1976, 13(2):133-44.
12. HADZI, D., *J. Chem. Soc.*, 1962, 5128.
13. PARRIS, G.E. & LONG, G.G., *J. Inorg. Nucl. Chem.*, 1970, 32, 1585.
14. HARRIS, G.S., INGLIS, F., MC-KECHNIE, J. & CHEUNG, K.K., *Chem. Comm.*, 1967, 442.
15. TSOUCARIS, G., *J. Chim. Phys.*, 1961, 58, 619.
16. MASSABNI, A.M.G., Instituto de Química da Universidade de São Paulo, São Paulo, 1976. [Tese-Mestrado].
17. PHILLIPS, D.J. & TYREE JR., S.Y., *J. Am. Chem. Soc.*, 1961, 83, 1806.
18. GIGUERE, P.A. & CHIN, D., *Can. J. Chem.*, 1961, 39, 1214.

Recebido em 10-6-79